

В. В. Гальченко, В. В. Соловйов,  
О. С. Городніча

Національний технічний університет України «КПІ»,  
м. Київ, Україна

# Урахування вигоряння ядерного палива при обґрунтуванні ядерної безпеки систем зберігання відпрацьованого ядерного палива

Проведено аналіз урахування вигоряння відпрацьованого ядерного палива (ВЯП) РВПК-1000 та ВВЕР-1000 тільки з включенням актиноїдів та запропоновано методику урахування актиноїдного кредиту вигоряння. Проаналізовано два підходи до урахування вигоряння, в яких розглядалася система без урахування та з урахуванням розподілу ізотопів за висотою тепловидільної зірки (ТВЗ). Розрахунки проводилися з використанням комп’ютерних кодів SCALE і MCNP.

Результати досліджень мають потенційно важливе значення для обґрунтування ядерної безпеки систем зберігання та транспортування ВЯП та можуть забезпечити технічне підґрунтя для розширення використання цієї методики для розрахунку таких систем.

**Ключові слова:** відпрацьоване ядерне паливо, комп’ютерні коди SCALE і MCNP, підхід «burnup credit».

**В. В. Гальченко, В. В. Соловьев, О. С. Городничая**

## Учет выгорания ядерного топлива при обосновании ядерной безопасности систем хранения отработавшего ядерного топлива

Проведен анализ учета выгорания отработавшего ядерного топлива (ОЯТ) РБМК-1000 и ВВЭР-1000 только с включением актиноидов и предложена методика учета актиноидного кредита выгорания. Проанализировано два подхода по учету выгорания, в которых рассматривалася система без учета и с учетом распределения изотопов по высоте тепловыделяющей сборки (ТВС). Расчеты проводились с использованием компьютерных кодов SCALE и MCNP.

Результаты исследований имеют потенциальное важное значение для обоснования ядерной безопасности систем хранения и транспортировки ОЯТ и могут обеспечить техническое подспорье для расширения использования этой методики для расчета таких систем.

**Ключевые слова:** отработавшее ядерное топливо, компьютерные коды SCALE и MCNP, подход «burnup credit».

© В. В. Гальченко, В. В. Соловьев, О. С. Городничая, 2012

Для аналізу ядерної безпеки систем зберігання і транспортування відпрацьованого ядерного палива (ВЯП) нормативні документи вимагають проведення розрахунків з обґрунтуванням підкритичності таких систем, повністю заповнених паливом з максимальними розмежувальними властивостями [1, 2], зазвичай — свіжим паливом максимального збагачення. Такий рівень консерватизму пов’язаний насамперед з недосконалістю методик щодо визначення ізотопного складу ВЯП на час формування вимог. Тому збільшення геометричних характеристик, таких як розмір чарунки зберігання, товщина стінки чарунки та крок між чарунками, і, як наслідок, зменшення кількості відпрацьованих тепловидільних збірок (ТВЗ), що завантажуються в контейнер, надає змогу впевнено говорити про пасивне забезпечення підкритичності систем з ВЯП за рахунок збільшення втрат нейтронів та їх поглинання в непаливних елементах конструкції. Наслідком такого консерватизму є збільшення вартості зберігання й транспортування ВЯП.

Але, фактично, після перебування палива в реакторі та реакторному басейні витримки ефективний коефіцієнт розмноження нейтронів ( $k_{\text{eff}}$ ) палива значно знижується внаслідок зниження концентрації  $^{235}\text{U}$  («вигоряння» палива) і напрацювання актиноїдів та продуктів поділу, що поглинають нейтрони.

Роботи, які проводяться в різних країнах [3–6], спрямовані на використання точніших і реалістичніших оцінок  $k_{\text{eff}}$  для систем зберігання й транспортування ВЯП, із застосуванням так званого підходу burnup credit (кредит вигоряння). Кредит вигоряння — підхід, який дає змогу визначити зменшення реактивності у ВЯП, враховуючи вигоряння палива. Урахування вигоряння палива при обґрунтуванні ядерної безпеки сховищ з ВЯП дасть змогу збільшити об’єм палива, що завантажується, і завдяки цьому суттєво зменшити вартість технологій транспортування та зберігання ВЯП.

Аналіз критичності з використанням підходу burnup credit вимагає виконання двох окремих етапів: визначення концентрації нуклідів у ВЯП; розрахунку  $k_{\text{eff}}$  з використанням концентрації нуклідів, що отримана на першому етапі.

Документ [4] обґрунтовує і розглядає чотири шляхи урахування ізотопного складу у ВЯП:

1. Fission products only (FP). Урахування зміни тільки концентрації нуклідів, що діляться, —  $^{235}\text{U}$ ,  $^{239}\text{Pu}$ ,  $^{241}\text{Pu}$ , та зміни концентрації  $^{238}\text{U}$ .

2. Actinides credit (AC). Урахування тільки актиноїдів  $^{234}\text{U}$ ,  $^{235}\text{U}$ ,  $^{236}\text{U}$ ,  $^{238}\text{U}$ ,  $^{237}\text{Np}$ ,  $^{238}\text{Pu}$ ,  $^{239}\text{Pu}$ ,  $^{240}\text{Pu}$ ,  $^{241}\text{Pu}$ ,  $^{242}\text{Pu}$ ,  $^{241}\text{Am}$ ,  $^{243}\text{Am}$ .

3. Урахування актиноїдів та продуктів поділу. До зазначених у шляху 2 ізотопів додають продукти поділу ( $^{95}\text{Mo}$ ,  $^{99}\text{Tc}$ ,  $^{101}\text{Ru}$ ,  $^{103}\text{Rh}$ ,  $^{109}\text{Ag}$ ,  $^{133}\text{Cs}$ ,  $^{143}\text{Nd}$ ,  $^{145}\text{Nd}$ ,  $^{147}\text{Sm}$ ,  $^{149}\text{Sm}$ ,  $^{150}\text{Sm}$ ,  $^{151}\text{Sm}$ ,  $^{152}\text{Sm}$ ,  $^{151}\text{Eu}$ ,  $^{153}\text{Eu}$ ,  $^{155}\text{Gd}$ ).

4. Повне урахування ізотопного складу та часу витримки палива, але без урахування Sm.

У роботі розглянуто запропонований підхід actinides credit (актиноїдний кредит) у застосуванні його до палива РВПК-1000 та ВВЕР-1000.

Необхідно зазначити, що відсутність достатньої кількості експериментальних даних з ізотопного складу відпрацьованого ядерного палива не дозволяє продовжити розробку необхідної методики. Так, з робіт [7–10] та багатьох інших добре видно, що різниця між розрахованими та експериментально вимірюними значеннями ізотопного складу може бути досить суттєвою для різних ізотопів.

Розрахункові схеми систем для кодів MCNP та SCALE і параметри, що аналізувалися. Критичність зазначених

систем розрахувалася за допомогою двох комп'ютерних кодів, що базуються на використанні методу Монте-Карло: модуля KENO-VI [11] програмного продукту SCALE-5 [12] з використанням 238-групової бібліотеки нейтронно-фізичних констант, створеної на базі ENDF-B/V та ENDF-B/VI, та комп'ютерного коду MCNP4a [13] з використанням неперервної за енергією бібліотеки нейтронно-фізичних констант, створеної на основі ENDF/B-V.

Для обох кодів було створено абсолютно ідентичні за геометрією, початковими та граничними умовами тривимірні розрахункові схеми.

Розрахункові параметри для кодів MCNP і KENO, такі як кількість поколінь нейтронів, кількість нейтронів у поколінні та початковий розподіл джерела нейтронів, вибиралися однаковими, припущення та підходи під час розробки розрахункових схем контейнера та басейну — аналогічними. При цьому вважалося, що у ВЯП відсутній газовий зазор між паливом та оболонкою, тобто діаметр паливної таблетки збільшувався на величину газового зазору, а густота палива зменшувалася на 5 %, тобто становила 95 % теоретичної густини палива (або 1 % розрахункової).

Ізотопний склад для всіх типів палива визначався з використанням модулів SAS2H [14] та ORIGEN-S [15] комп'ютерного коду SCALE [12]. Розрахункову схему для ТВЗ РВПК-1000 наведено в [6]. Розрахункова схема для ТВЗ ВВЕР-400 та ВВЕР-1000 принципово базується на таких самих стандартних для коду засадах, які полягають в двохетапному підході. На першому етапі формується розрахункова схема для коду SAS2H, яка застосовується для розрахунку вигоряння палива та підготовки бібліотек макроскопічних констант залежно від глибини вигоряння. На другому етапі отримана бібліотека використовується модулем ORIGEN-S для корекції вигоряння та розрахунку концентрації ізотопів при подальшій витримці палива. Отриманий з ORIGEN-S ізотопний склад і використовується для подальших розрахунків кредиту вигоряння.

Для забезпечення консервативності результатів розглядався вплив допусків при виготовленні палива та його оболонки. Обробці піддавалися такі характеристики, як початкове збагачення палива по  $^{235}\text{U}$  і початкова маса палива в ТВЗ, геометричні допуски на виготовлення палива та його оболонки. Вплив зазначених характеристик розглядався як при створенні розрахункової схеми для визначення ізотопного складу, так і при формуванні розрахункової схеми для визначення критичності.

Параметри, які змінювалися в процесі формування розрахункової схеми для SAS2H і ORIGEN-S, та їх вплив на критичність наведено в табл. 1—3. Із наведених таблиць видно, що тенденція зміни  $k_{\text{eff}}$  однаакова для всіх розглянутих типів палива, що говорить про прийнятність цього підходу для розрахунків ізотопного складу і критичності для всіх типів ТВЗ, що розглядалися.

Розміри оболонки палива враховувалися двічі: вперше — у розрахунку ізотопного складу, вдруге — при формуванні розрахункової схеми для аналізу критичності. Хоча потрібно зазначити, що вплив розмірів оболонки є несуттєвим. Сумарний ефект від урахування розмірів оболонки не перевищує 0,6 %.

Важливо відзначити, що найбільший внесок у збільшення розмежувальних властивостей вносить консервативне збільшення маси палива та його густини при розрахунках ізотопного складу.

Як показали розрахунки залежності  $k_{\text{eff}}$  від зміни температури води та палива для різного терміну витримки, що

Таблиця 1. Параметри ТВЗ, які піддавалися обробці для палива РВПК-1000

Параметр	Базова величина	Відхилення/Діапазон	Тенденція в $k_{\text{eff}}$
Зовнішній діаметр палива, мм	11,52	-0,02	-
Початкове збагачення, %	1,8, 2,0, 2,4	-0,05/+0,05	-/+
Маса палива $\text{UO}_2$ , кг	135	-1% /+1%	-/+
Густота палива, г/см <sup>3</sup>	10,4÷10,7	10,43/ 10,96 (теоретична)	-/+
Внутрішній діаметр оболонки, мм	11,7÷11,8	+0,035	+
Зовнішній діаметр оболонки, мм	13,65	-0,08/+0,05	+/-

Таблиця 2. Параметри ТВЗ, які піддавалися обробці для палива ВВЕР-1000

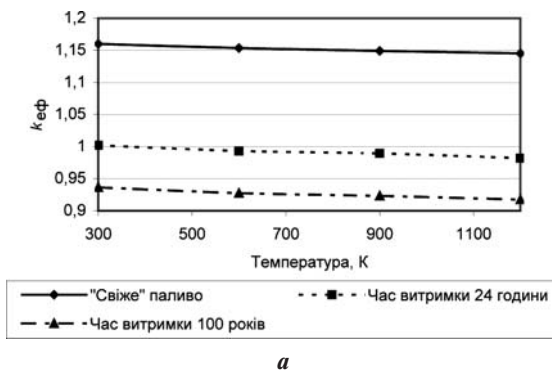
Параметр	Базова величина	Відхилення/Діапазон	Тенденція в $k_{\text{eff}}$
Внутрішній діаметр палива, см	2,35		
Зовнішній діаметр палива, мм	7,57	7,57/7,6	-/+
Початкове збагачення, %	1,6, 2,4, 3,6, 4,4	-0,05/+0,05	-/+
Маса палива $\text{UO}_2$ , кг	455,52	-1% /+1%	-/+
Густота палива, г/см <sup>3</sup>	10,55	10,43/ 10,96 (теоретична)	-/+
Внутрішній діаметр оболонки, мм	7,72	+0,08	+
Зовнішній діаметр оболонки, мм	9,1	-0,05/+0,08	+/-

Таблиця 3. Параметри ТВЗ, які піддавалися обробці для палива ВВЕР-440

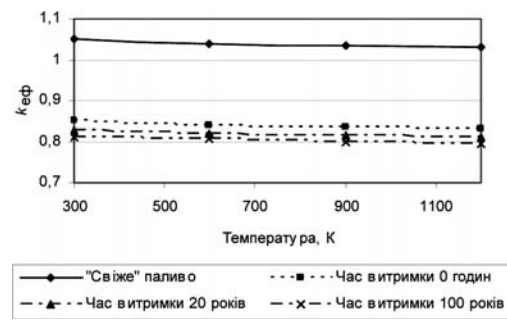
Параметр	Базова величина	Відхилення/Діапазон	Тенденція в $k_{\text{eff}}$
Внутрішній діаметр палива, см	1,2	+0,8	-
Зовнішній діаметр палива, мм	7,54÷7,59	7,54/7,6	-/+
Початкове збагачення, %	1,6, 2,4, 3,6, 4,21, 4,4	-0,05/+0,05	-/+
Маса палива $\text{UO}_2$ , кг	138,5	-1% /+1%	-/+
Густота палива, см <sup>3</sup>	10,43÷10,73	10,43/ 10,96 (теоретична)	-/+
Внутрішній діаметр оболонки, мм	7,72	+0,08	+
Зовнішній діаметр оболонки, мм	9,05÷9,2	9,05/9,2	+/-

Примітка. В табл. 1—3 знак «-» характеризує тенденцію на зниження, а знак «+» на збільшення  $k_{\text{eff}}$ .

проводилися тільки з використанням комп'ютерного коду SCALE, оскільки бібліотека MCNP використовує дані лише для 300 К (деякі результати розрахунків наведено на рис. 1—3), якісно характер залежності  $k_{\text{eff}}$  від температури

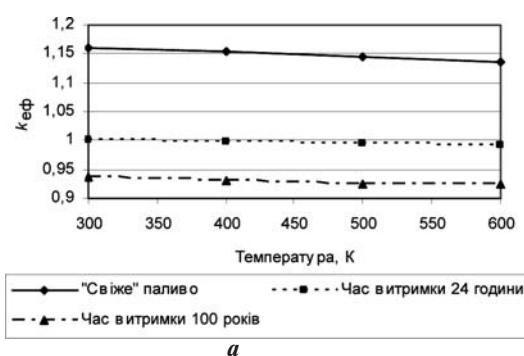


*a*

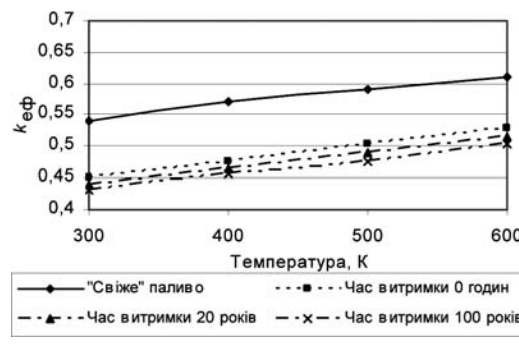


*b*

Рис. 1. Залежність  $k_{\text{eff}}$  від зміни температури палива для ТВЗ ВВЕР-1000 (*a* — густота води  $1 \text{ г}/\text{см}^3$ ) і РВПК-1000 (*b* — густота води  $0,1 \text{ г}/\text{см}^3$ ) різного часу витримки



*a*



*b*

Рис. 2. Залежність  $k_{\text{eff}}$  від зміни температури теплоносія для ТВЗ ВВЕР-1000 (*a*) і РВПК-1000 (*b*) різного часу витримки (густота води  $1 \text{ г}/\text{см}^3$ )

води і палива зберігається і не змінюється протягом усього інтервалу часу, що досліджувався.

**Розрахунок і аналіз зміни ізотопного складу у ВЯП.** Внесок кожного ізотопу в загальну масу ізотопів різний. Як видно з рис. 4, найбільший внесок належить ізотопам, що діляться:  $^{235}\text{U}$ ,  $^{239}\text{Pu}$ , та  $^{241}\text{Pu}$ . На них припадає близько 70 % всієї маси актиноїдів (без урахування маси  $^{238}\text{U}$ ).

Але  $^{241}\text{Pu}$  має невеликий період напіврозпаду ( $T_{1/2}$ ) — 14,4 року і, як видно з рис. 5—7, майже за 60 років повністю розпадається (в  $^{241}\text{Am}$ ). Аналогічна картина в цьому плані спостерігається для будь-якого типу ТВЗ реакторів на теплових нейтронах.

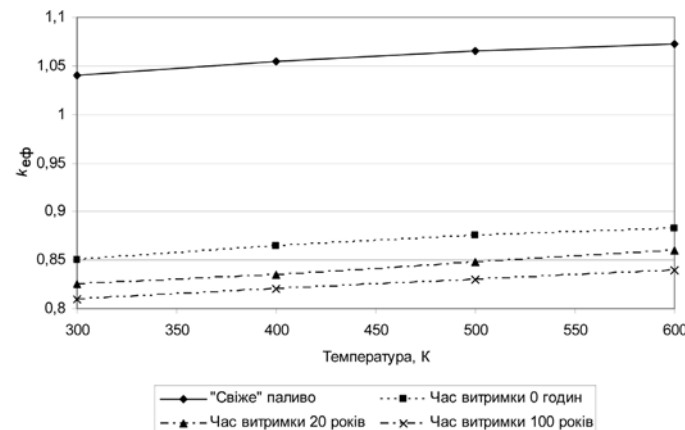


Рис. 3. Залежність  $k_{\text{eff}}$  від зміни температури теплоносія для ТВЗ РВПК-1000 різного часу витримки (густота води  $0,1 \text{ г}/\text{см}^3$ )

Ізотоп  $^{239}\text{Pu}$  має  $T_{1/2} = 24131$  років, тому суттєвого зниження його концентрації в період, що розглядається, не відбувається. Навпаки, в перший рік за рахунок розпаду  $^{239}\text{Np}$  ( $T_{1/2} = 2,355$  доби) спостерігається збільшення його концентрації, як це видно з рис. 8 та 9.

**Результати розрахунку критичності.** Аналіз критичності із застосуванням вищезазначеного шляху 1 (тобто з урахуванням зміни концентрації ізотопів  $^{235}\text{U}$ ,  $^{239}\text{Pu}$ ,  $^{241}\text{Pu}$ , та  $^{238}\text{U}$ ) вже активно застосовується протягом багатьох років у різних країнах. Але, як видно з табл. 4, він має нижчу «ефективність», ніж шлях 2, що дає несуттєвий виграна з точки зору збільшення можливостей систем, які розглядалися.

Ізотопи, які враховуються при використанні підходу FP (шлях 1), мають великі періоди напіврозпаду ( $T_{1/2}$ ), і їх концентрація, відповідно, практично не змінюється за

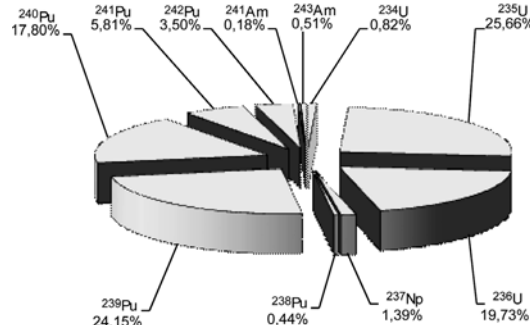


Рис. 4. Внесок кожного ізотопу (крім  $^{238}\text{U}$ ) в загальну масу актиноїдів для палива РВПК-1000 витримкою в 5 років

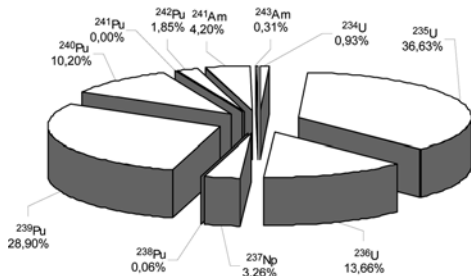


Рис. 5. Внесок кожного ізотопу (крім  $^{238}\text{U}$ ) в загальну масу актиноїдів для палива ВВЕР-1000 витримкою у 60 років

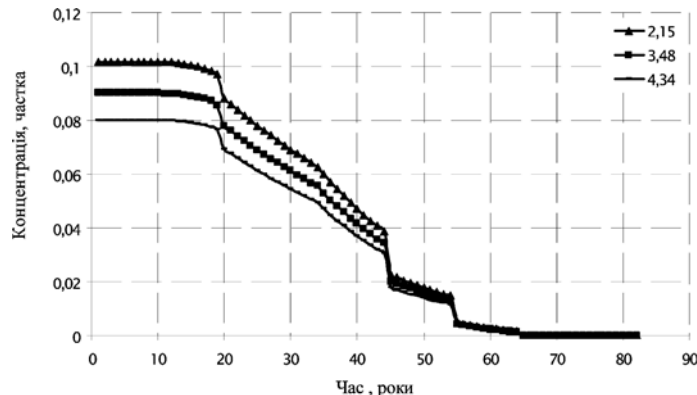


Рис. 6. Зміна концентрації  $^{241}\text{Pu}$  для палива ВВЕР-1000 різного початкового збагачення по  $^{235}\text{U}$

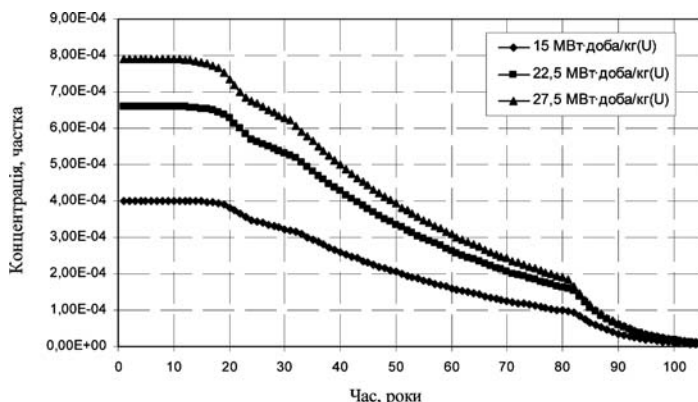


Рис. 7. Зміна концентрації  $^{241}\text{Pu}$  для палива РВПК-1000 збагаченням 2,4 % по  $^{235}\text{U}$  з різною глибиною вигоряння палива

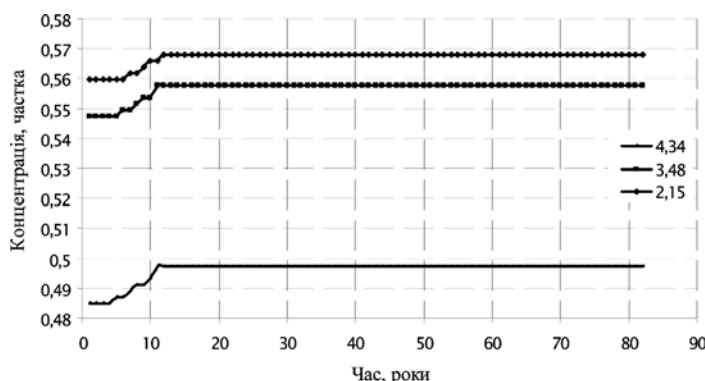


Рис. 8. Зміна концентрації  $^{239}\text{Pu}$  для палива ВВЕР-1000 різного початкового збагачення по  $^{235}\text{U}$

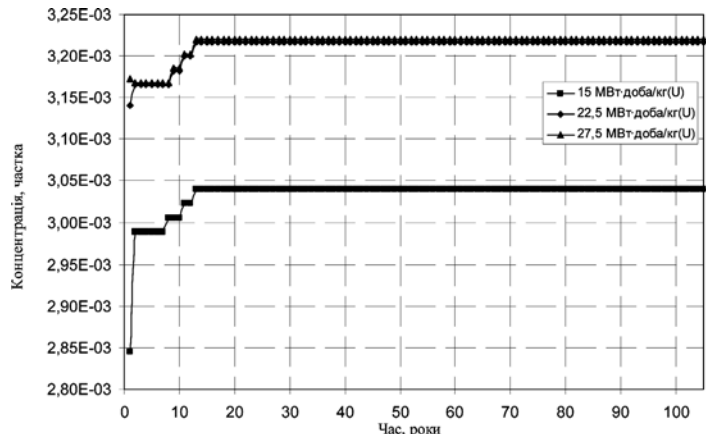


Рис. 9. Зміна концентрації  $^{239}\text{Pu}$  для палива РВПК-1000 почтковим збагаченням 2,4 % по  $^{235}\text{U}$ , з різною глибиною вигоряння палива

розглядуваній період, тобто залишається практично такою, як і після вивантаження з реактора (за винятком збільшення концентрації  $^{239}\text{Pu}$ ). Окрім того, при роботі реактора концентрація цих ізотопів визначається лише початковим збагаченням палива і величиною потоку нейтронів. Таким чином, програмні продукти, які розраховують ізотопний склад у паливі при його вигорянні, даватимуть приблизно однакові значення концентрацій цих ізотопів і добре збігатимуться з експериментальними даними. Це робить такий метод перспективним з точки зору подальших досліджень щодо створення розрахункової методики визначення ізотопного складу у ВЯП для урахування кредиту вигоряння.

Таблиця 4. Зміна  $k_{\text{еф}}$  залежно від часу витримки за різними методиками для палива ВВЕР-1000 з середньою глибиною вигоряння 40 МВт·дoba/кг(U)

Час витримки	Шлях 1 (FP)	Шлях 2 (AC)	Дельта 1	Дельта 2
Свіже паливо	1,16004	1,16004	$k_{\text{св}} - k_{\text{виг}}$	
24 години	1,10238	1,00082	0,05766	0,15922
5 років	1,09310	0,98173	0,06694	0,17831
85 років	1,05593	0,91859	0,10411	0,24145
100 років	1,05672	0,91885	0,10332	0,24119

Примітка. Дельта 1 — різниця між ефективними коефіцієнтами розмноження нейтронів для системи зі свіжим паливом та тим що вигоріло, з урахуванням методики FP, дельта 2 — відповідно з урахуванням методики AC.

На рис. 10 представлено внесок кожного ізотопу в зниження  $k_{\text{еф}}$  при урахуванні вигоряння актиноїдів, звідки видно, що головну роль у зниженні критичності відіграє  $^{241}\text{Pu}$ ; це пояснюється великим перерізом ділення ізотопу в «тепловій»

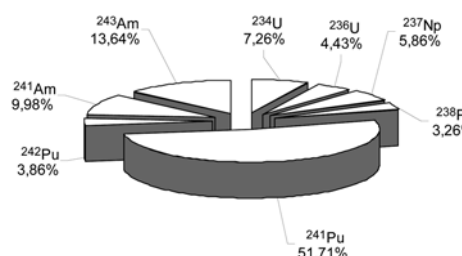


Рис. 10. Внесок ізотопів у зниження  $k_{\text{еф}}$  при урахуванні вигоряння актиноїдів для палива ВВЕР-1000

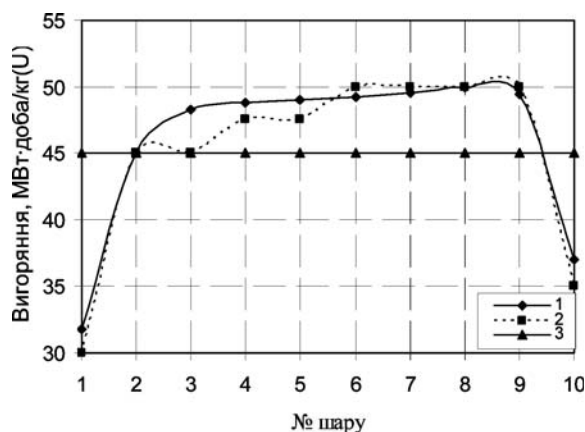


Рис. 11. Профіль вигоряння для ТВЗ ВВЕР-1000 збагаченням 4,4 % по  $^{235}\text{U}$ :  
1 — профіль, розрахований за допомогою БІПР;  
2 — модифікований профіль для розрахунків критичності;  
3 — без профілювання

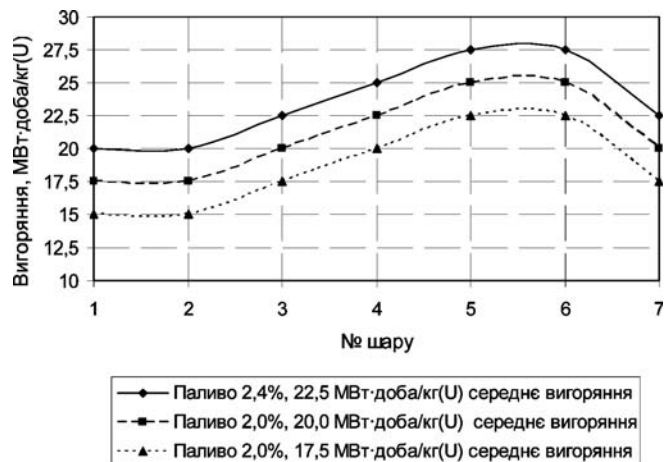


Рис. 12. Профіль вигоряння для ТВЗ РВПК-1000 різного збагачення

області енергій ( $\sigma_f \approx 1000$  барн при  $E_n \approx 0,0253$  еВ) і невеликим  $T_{1/2}$ .

**Профілювання.** У процесі експлуатації вигоряння ТВЗ за висотою відбувається нерівномірно. Це пов'язано з аксіальним профілем розподілу поля енерговиділення. У роботі проаналізовано вплив розподілу глибини вигоряння за висотою ТВЗ на критичність системи.

Профіль вигоряння для ТВЗ ВВЕР отримувався з розрахунків комп'ютерного коду БІПР, який використовується на АЕС України для розрахунків паливних циклів активних зон. З урахуванням кроку вигоряння, який використовувався при розрахунках ORIGEN-S, отриманий профіль дещо модифікувався так, щоб він максимально відповідав профілю, розрахованому БІПР (рис. 11) для палива ВВЕР-1000 початкового збагачення 4,4 % по  $^{235}\text{U}$  для середньої глибини вигоряння 45 МВт·дoba/кг (U). Розрахунок профілю вигоряння для ТВЗ РВПК-1000 проводився з урахуванням коефіцієнта нерівномірності 1,2. Профіль вигоряння для палива РВПК, який використовувався в розрахунках, наведено на рис. 12. ТВЗ ВВЕР при цьому розбивалася на 10 шарів за висотою, ТВЗ РВПК-1000 — на 7 шарів [6].

На рис. 13—16 показано залежність  $k_{\text{eff}}$  від часу витримки для різного типу палива.

Збіг між розрахунками за SCALE та MCNP знаходитьться в межах статистичної еквівалентності й варіюється в межах

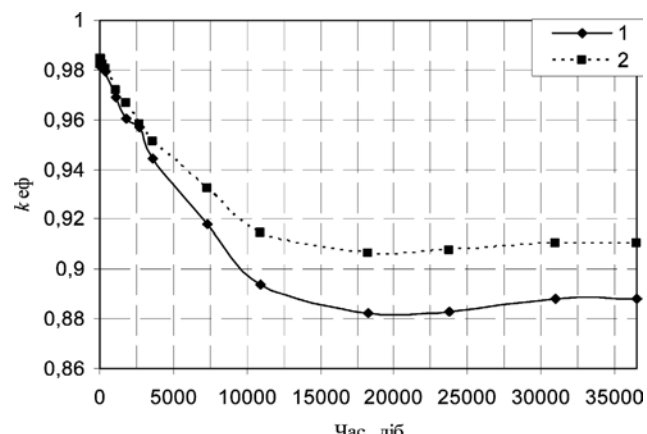


Рис. 13. Залежність  $k_{\text{eff}}$  від часу витримки для палива ВВЕР-1000 початкового збагачення 4,34 % по  $^{235}\text{U}$  та з середньою глибиною вигоряння палива 45 МВт·дoba/кг(U):  
1 — без урахування профілю вигоряння;  
2 — з урахуванням профілю вигоряння

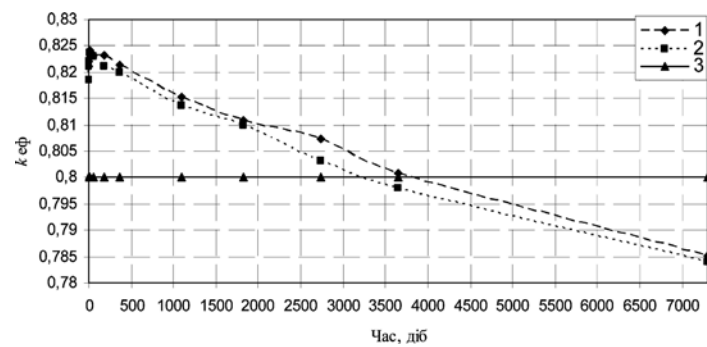


Рис. 14. Залежність  $k_{\text{eff}}$  від часу витримки для палива ВВЕР-1000 початкового збагачення 1,25 % по  $^{235}\text{U}$  та з середньою глибиною вигоряння палива 12,5 МВт·дoba/кг(U):  
1 — без урахування профілю вигоряння;  
2 — з урахуванням профілю вигоряння;  
3 — свіже паливо

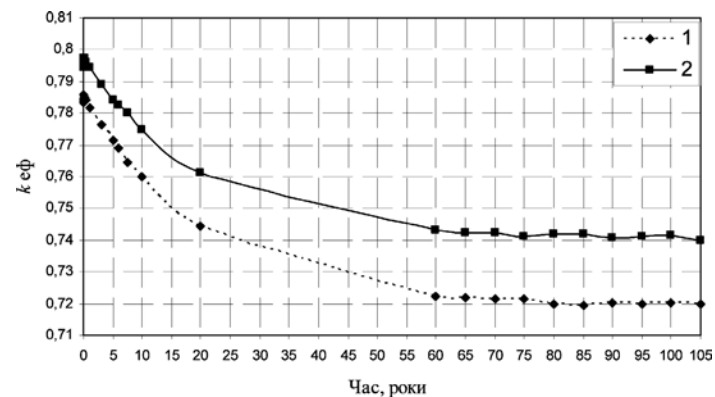


Рис. 15. Залежність  $k_{\text{eff}}$  від часу витримки для палива РВПК-1000 початкового збагачення 2,0 % по  $^{235}\text{U}$  та з середньою глибиною вигоряння палива 20 МВт·дoba/кг(U):  
1 — без урахування профілю вигоряння;  
2 — з урахуванням профілю вигоряння

від 0,2 до 1 %, тому графіки наводяться для одного з кодів. Максимальне відхилення в 2,5 % отримано при аналізі критичності в СВЯП-1 для палива РВПК з великим часом витримки при низьких густинах води, але дослідження цього моменту виходить за рамки цієї роботи.

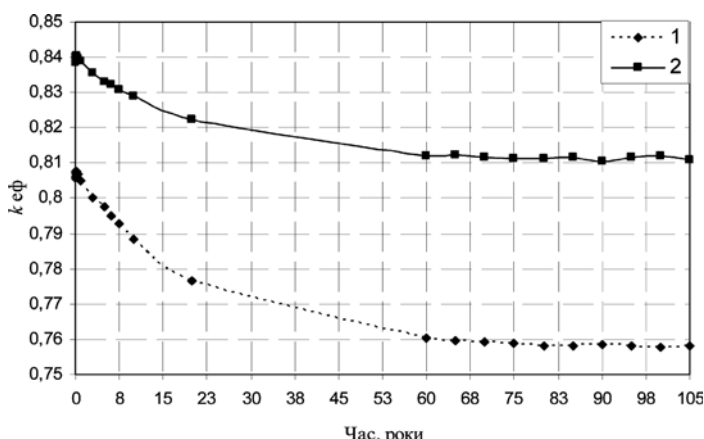
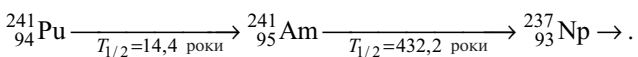


Рис. 16. Залежність  $k_{\text{еф}}$  від часу витримки для палива РВПК-1000 початкового збагачення 1,8 % по  $^{235}\text{U}$  та з середньою глибиною вигоряння палива 15 МВт·доба/кг(У):  
 1 — без урахування профілю вигоряння;  
 2 — з урахуванням профілю вигоряння

З наведених графіків видно, по-перше, що важливим моментом при урахуванні кредиту вигоряння є урахування розподілу вигоряння палива за висотою ТВЗ, а, по-друге, маємо однакову тенденцію зміни  $k_{\text{еф}}$  залежно від часу витримки — збільшення в перші майже 400 годин після зупинки реакторної установки за рахунок напрацювання  $^{239}\text{Pu}$  ( $\beta^-$ -розпад  $^{239}\text{Np}$ ):



Далі, в межах від 5 до 50 років, спостерігається суттєве зниження  $k_{\text{еф}}$ , що пов'язано зі зменшенням концентрації  $^{241}\text{Pu}$  в результаті  $\beta^-$ -розпаду:



У наступні 50 років ів спостерігається незначна зміна розмножувальних властивостей системи, але зі стійким трендом на невелике збільшення  $k_{\text{еф}}$ .

## Висновки

У статті проаналізовано деякі проблеми обґрунтування ядерної безпеки систем зберігання ВЯП при використанні підходу burnup credit. Розрахунки виконано за допомогою двох кодів — MCNP та SCALE — з метою підвищення достовірності отриманих результатів.

Урахування вигоряння палива при обґрунтуванні ядерної безпеки систем зберігання ВЯП РВПК-1000 та ВВЕР суттєво збільшує можливості системи щодо кількості ТВЗ, які зберігаються, з точки зору вимог ядерної безпеки. Видно, що врахування розподілу глибини вигоряння за висотою ТВЗ необхідне при обґрунтуванні ядерної безпеки систем з ВЯП за допомогою підходу burnup credit, оскільки при цьому значення  $k_{\text{еф}}$  вище, ніж без профілювання. Неврахування профілю глибини вигоряння палива вимагає додаткових консервативних припущень при виконанні розрахунків для обґрунтування ядерної безпеки з урахуванням вигоряння палива.

Не менш важливим при підготовці вхідних даних є врахування допусків та посадок при виготовленні палива та ТВЗ.

Для подальшої роботи над методикою урахування вигоряння палива систем зберігання та транспортування палива ВВЕР та РВПК важливо отримати експериментальні дані щодо ізотопного складу ВЯП. Наявність таких даних надасть можливість допрацювати методику розрахункового визначення ізотопного складу ВЯП, яка б забезпечувала достатній консерватизм при розрахунку критичності з використанням кредиту вигоряння.

## Список використаної літератури

1. ПНАЭ Г-1029-91. Правила хранения и транспортировки ядерного топлива на объектах атомной энергетики. — 1992. — С. 15—23.
2. НП 306.2.105-2004. Основные положения обеспечения безопасности промежуточных хранилищ отработавшего ядерного топлива сухого типа. — 2004. — С. 20.
3. NUREG/CR-6798 ORNL/TM-001/259. Isotopic Analysis of High-Burnup PWR Spent Fuel Samples From the Takahama-3 Reactor.
4. NUREG/CR-6811 ORNL/TM-2001/257. Strategies for Application of Isotopic Uncertainties in Burnup Credit.
5. Ковбасенко Ю. П. Впровадження сучасних методів оцінки ядерної безпеки систем зберігання з відпрацьованим паливом на АЕС України / Ю. П. Ковбасенко, Є. М. Еременко, Є. І. Білодід, О. О. Дудка, Я. В. Костюшко // Ядерна та радіаційна безпека. — 2008. — № 1. — С. 17—21.
6. Гальченко В. В. Урахування вигоряння ядерного палива при обґрунтуванні ядерної безпеки систем зберігання та транспортування відпрацьованого ядерного палива РВПК-1000 / В. В. Гальченко, В. І. Макодим, В. В. Соловйов, В. В. Ількович // Ядерна фізика та енергетика. — 2010. — Т. 11, № 4. — С. 415420—.
7. Markova L. PBC Implementation Assessment Relating to Pool at Reactor of Dukovany NPP, Technical Meeting on the "Advances in applications of burnup credit to enhance spent fuel transportation, storage, reprocessing and disposition" London, UK, 29 August — 2 September 2005, NRI 12 256-R, August 2005.
8. DeHart M. D. Sensitivity and Parametric Evaluations of Significant Aspects of Burnup Credit for PWR Spent Fuel Packages, ORNL/TM-12973, Oak Ridge N.L. — 1995.
9. Havluj F. Bounding approach in BUC implementation in pool at VVER-440, 16<sup>th</sup> AER Symposium on VVER Reactor Physics and Nuclear Safety, Slovakia, NRI 12643-R. — 2006.
10. Ковбасенко Ю. П. Определение изотопного состава отработавшего топлива реакторов РБМК для последующего анализа ядерной безопасности с учетом выгорания топлива / Ю. П. Ковбасенко, М. Л. Еременко // Ядерна та радіаційна безпека. — 2011. — № 2(50). — С. 35—42.
11. Hollenbach D. F. KENO-VI: A General Quadratic Version of the KENO Program / Hollenbach D. F., Petrie L. M., Landers N. F. // ORNL/NUREG/CSD-2/V2/R7. Vol. II, Section F17 — 2004.
12. David R. Hamrin et al. SCALE: A modular code system for performing standardized computer analyses for licensing evaluation // ORNL/TM-2005/39. — 2005. — Version 5, Vols. I — III.
13. Briesmeister J. F., Ed. MCNP — A General Monte Carlo N — Particle Transport Code, Version 4A: Report / Los Alamos National Laboratory. — No. LA-12625-M. — Los Alamos, NM (USA), 1993.
14. Hermann O. W. SAS2H: A Coupled One-Dimensional Depletion and Shielding Analysis Module / Hermann O. W., Parks C. V. // NUREG/CR-0200, Revision 6, (ORNL/NUREG/CSD-2/V2/R6), Oak Ridge National Laboratory. — 1998.
15. Hermann O. W. ORIGEN-S: SCALE System Module to Calculate Fuel Depletion, Actinide Transmutation, Fission Product Buildup and Decay, and Associated Radiation Source Terms / Hermann O. W., Westfall R. M. // NUREG/CR-0200, Revision 6, (ORNL/NUREG/CSD-2/V2/R6), Oak Ridge National Laboratory. — 1998.

Отримано 28.11.2011.